

Fig. 3

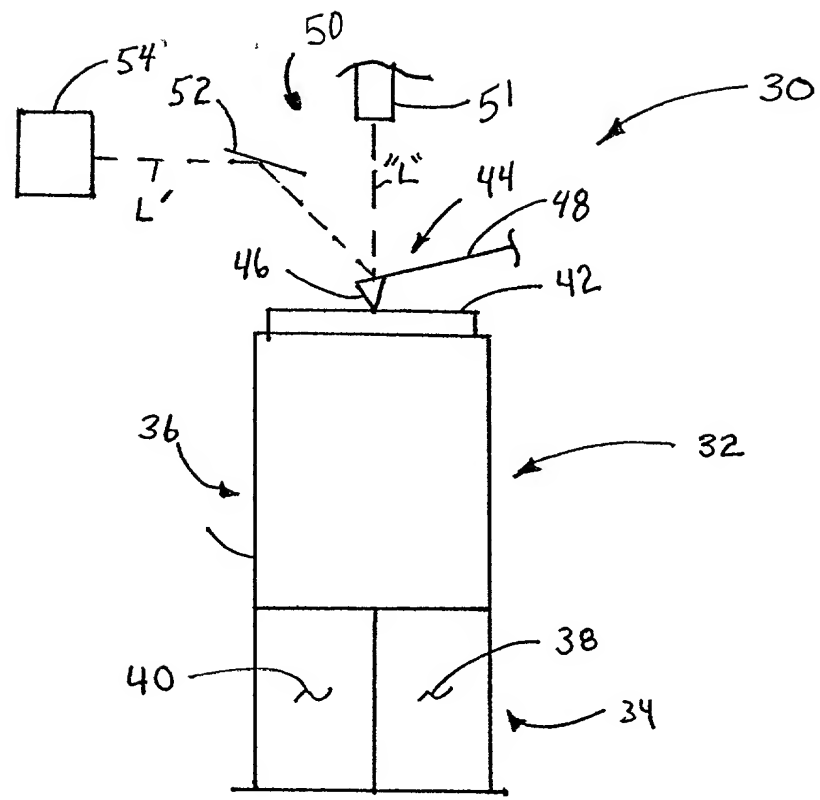


Fig. 4
(prior art)

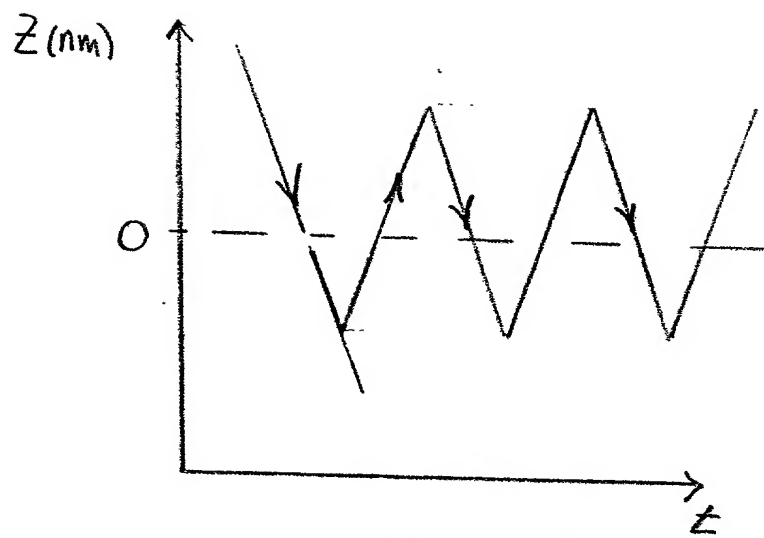


Fig. 5A

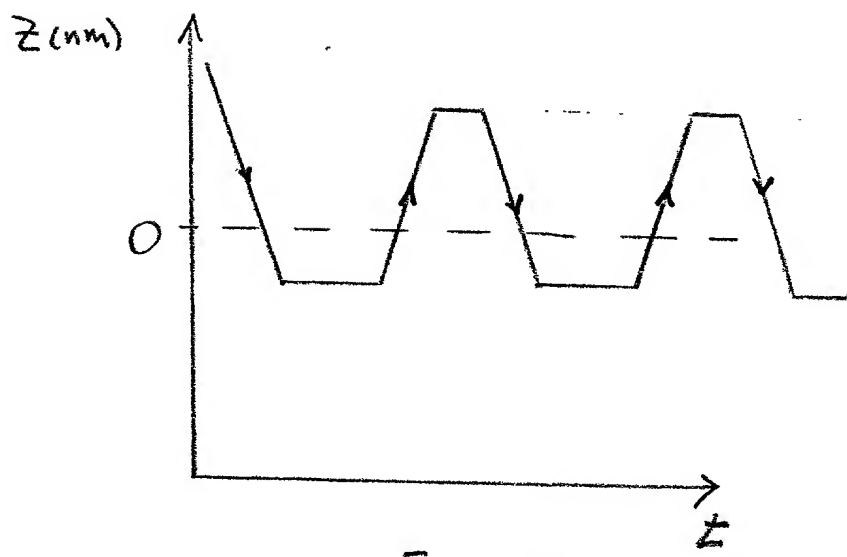


Fig. 5B

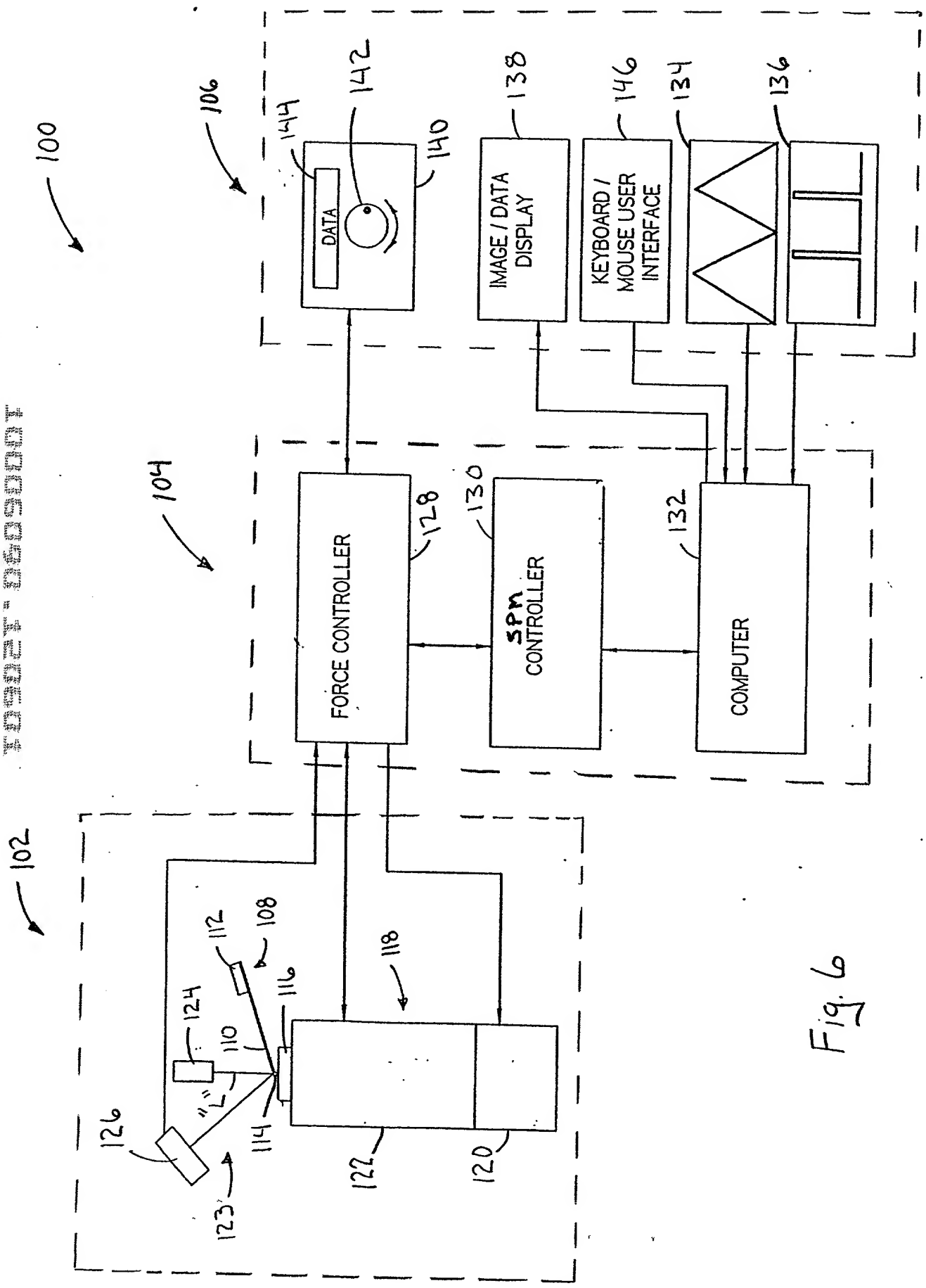


Fig. 6

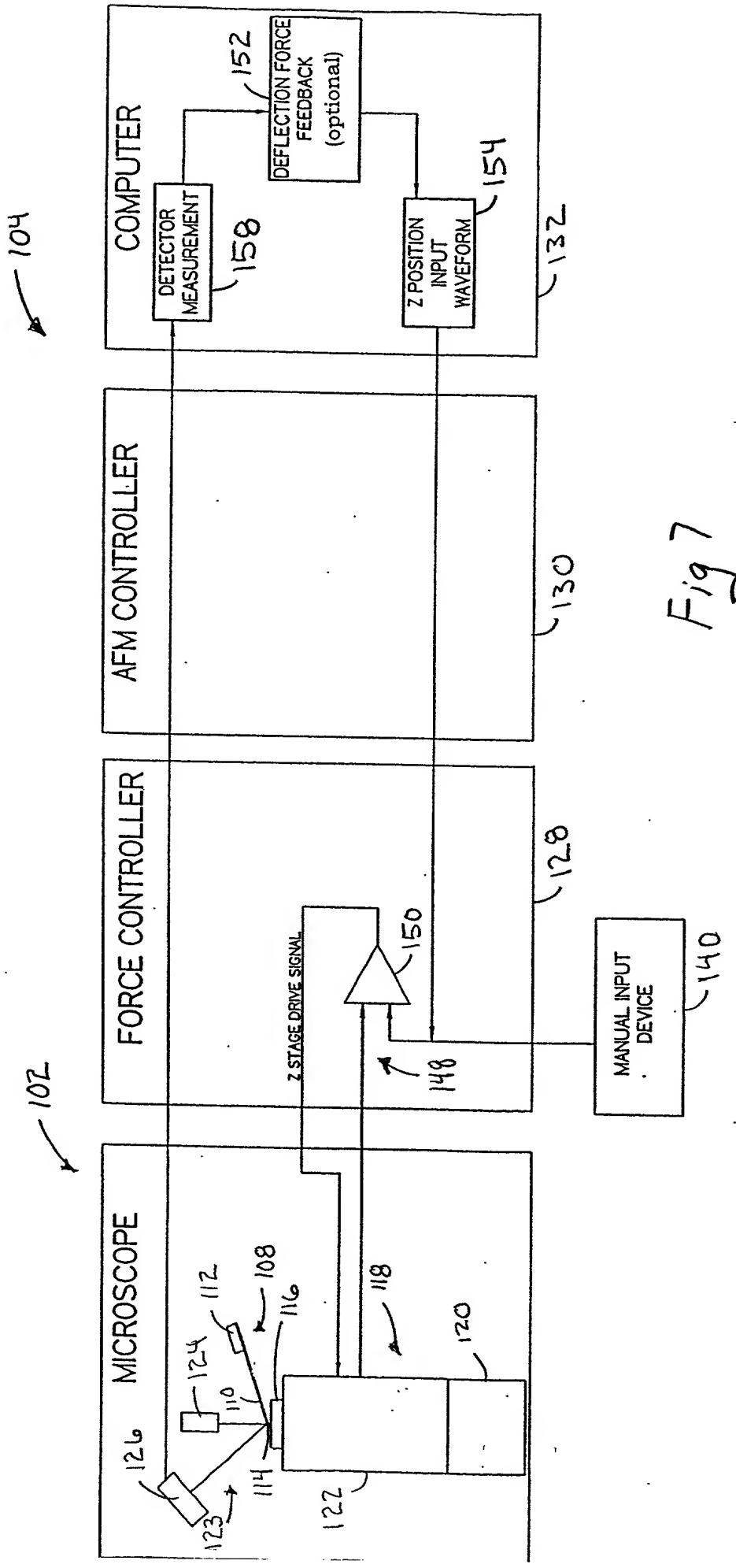


Fig 7

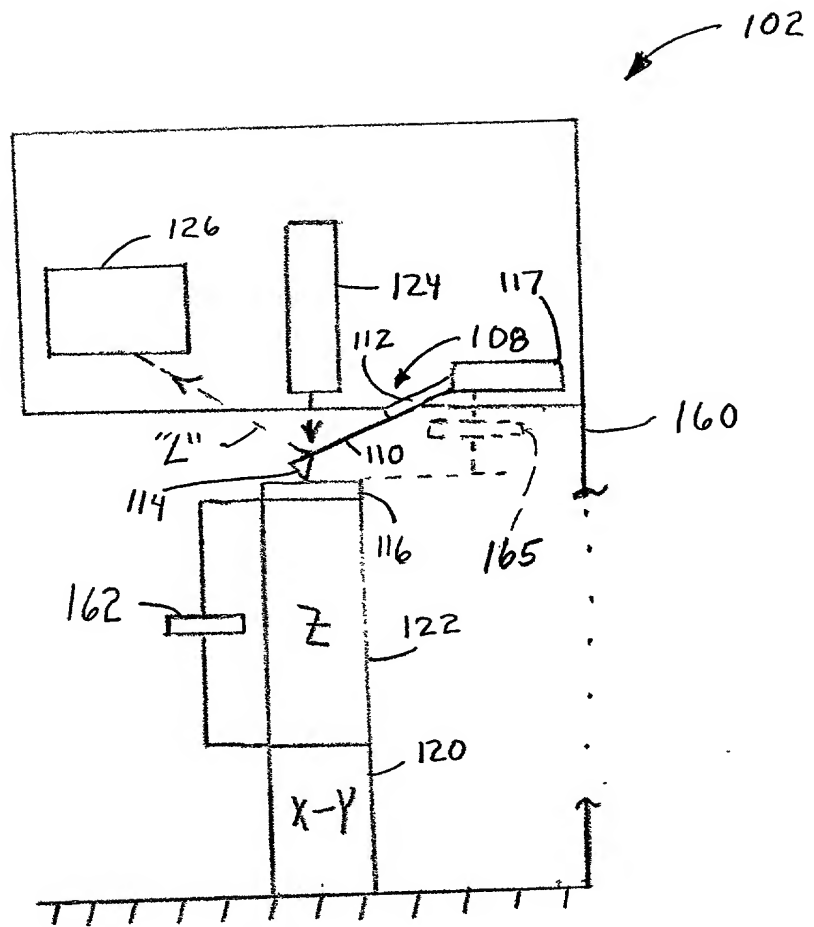


Fig. 8

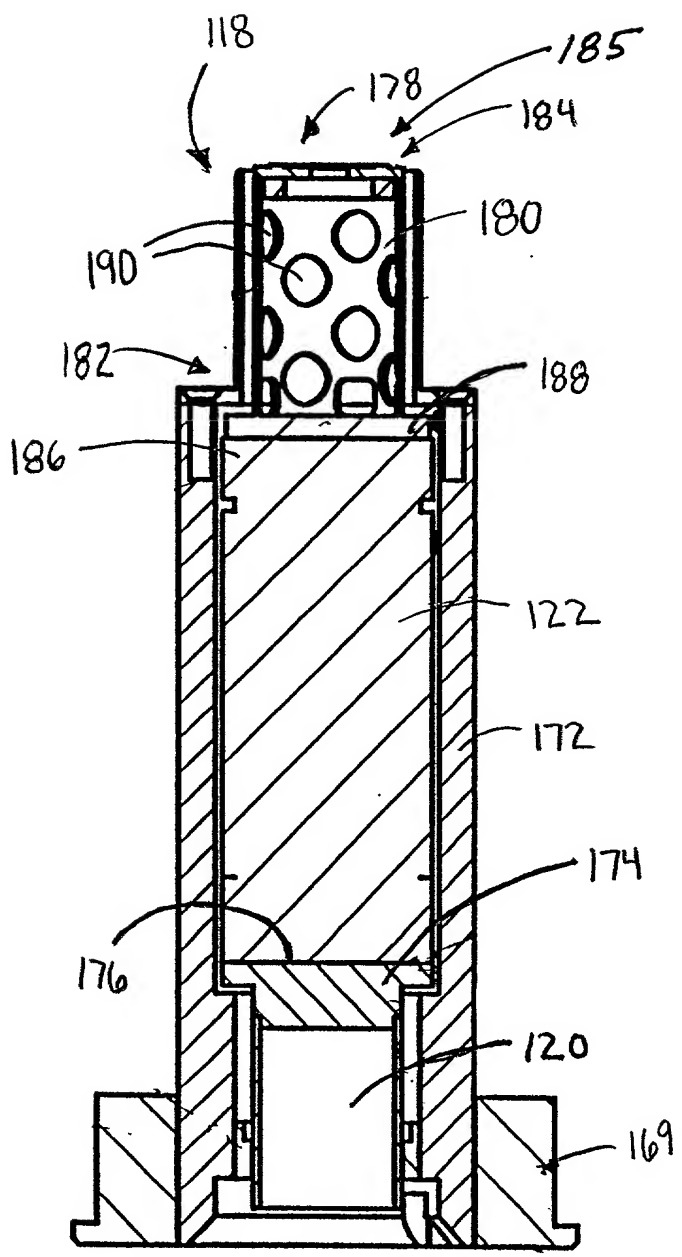


Fig. 9

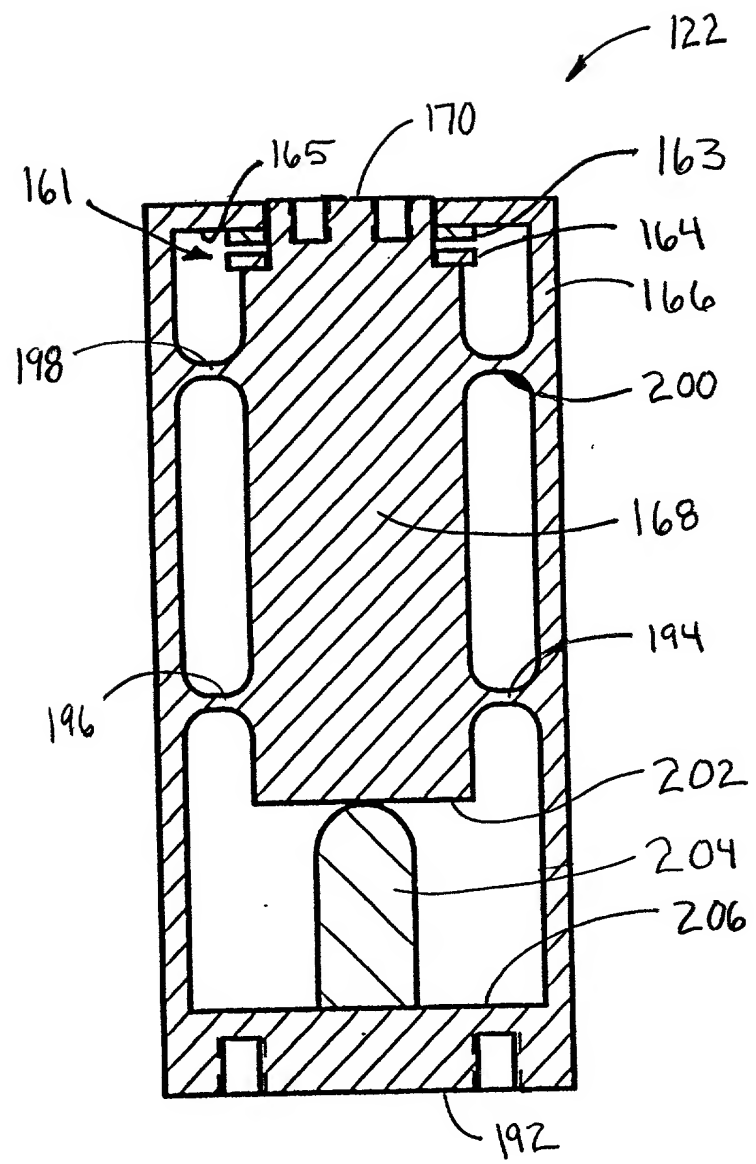


Fig. 1D
(prior art)

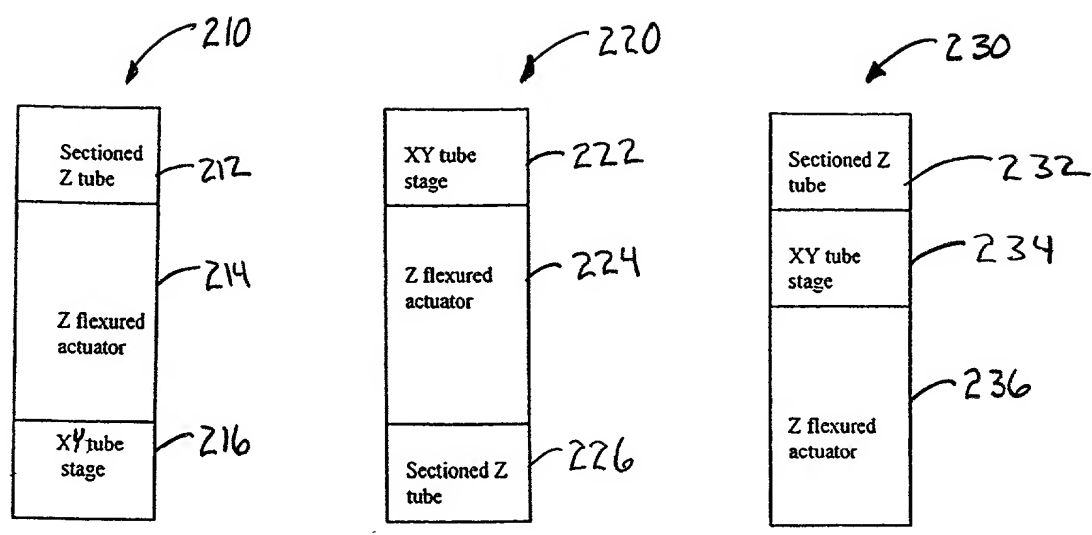


Fig. 11A

Fig. 11B

Fig. 11C

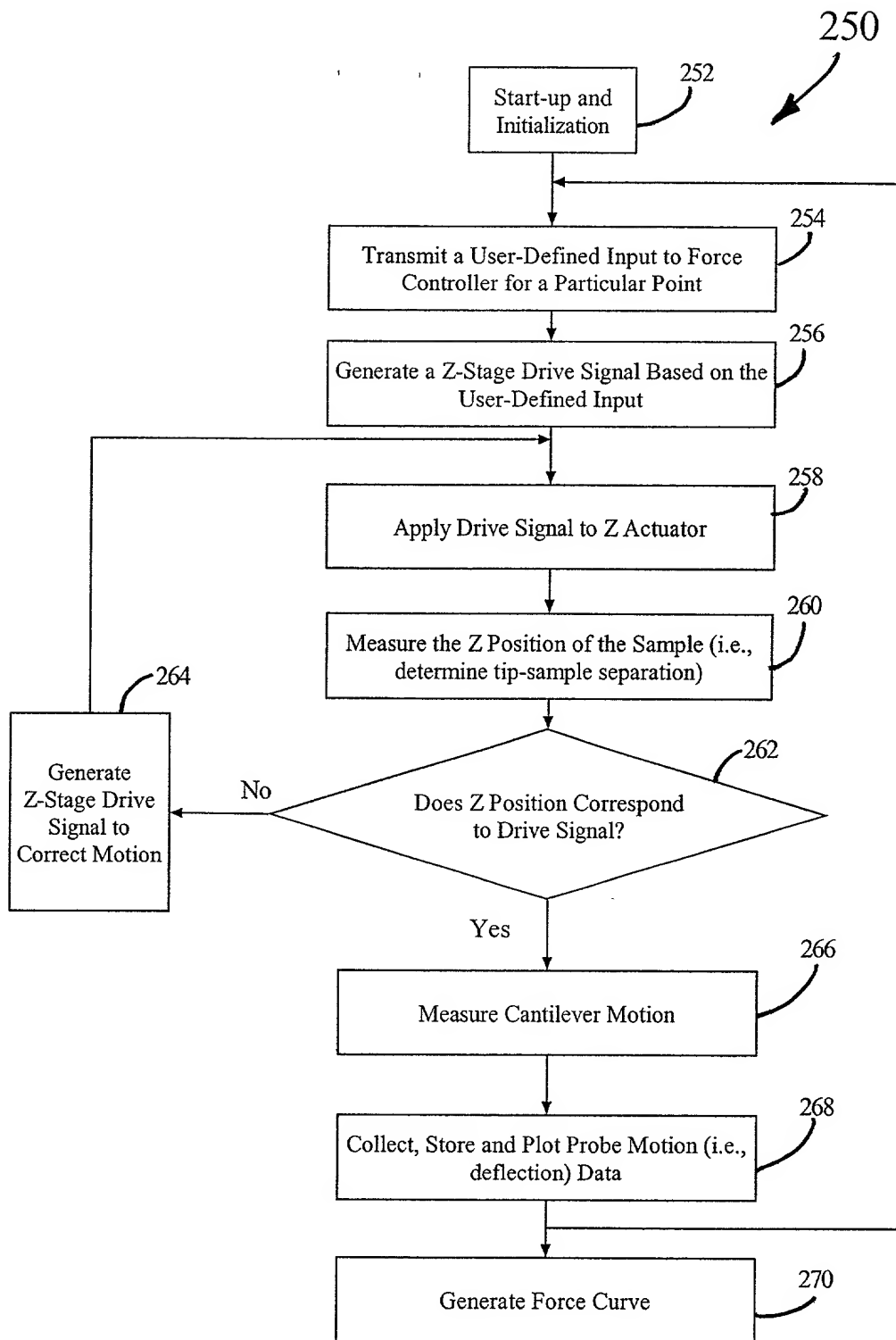


Fig. 12

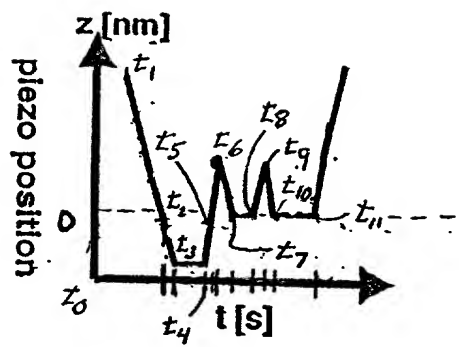


Fig. 13A

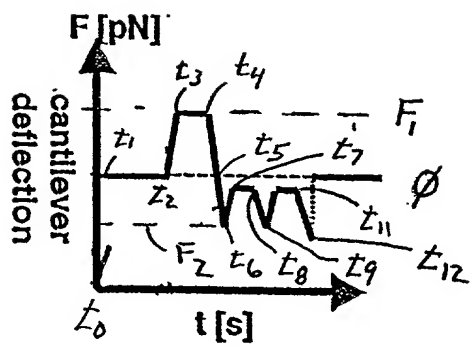


Fig. 13B

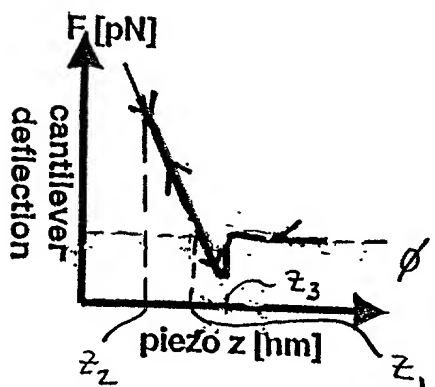


Fig. 13C

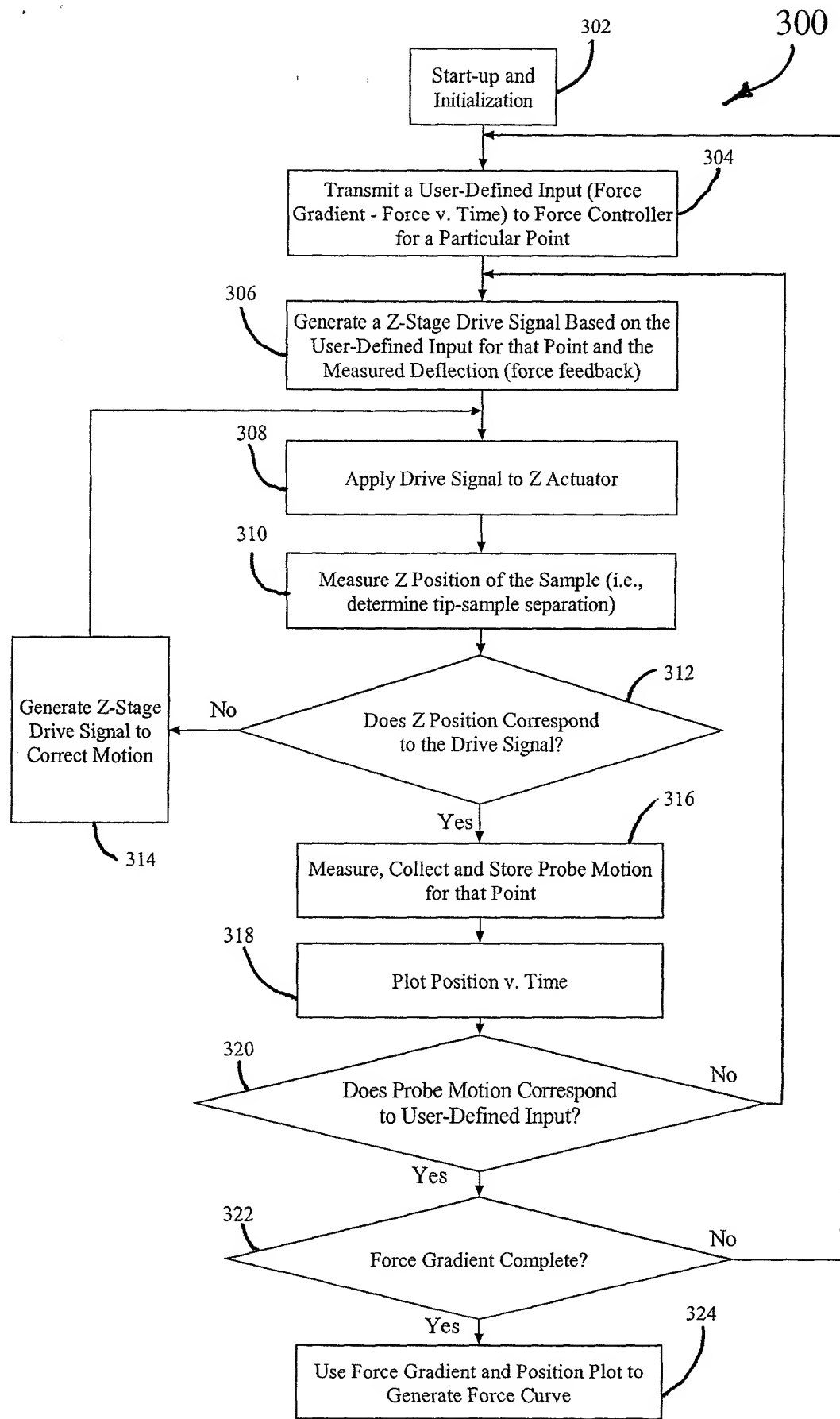


Fig. 14

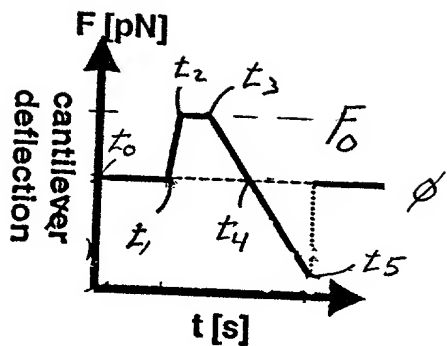


Fig. 15A

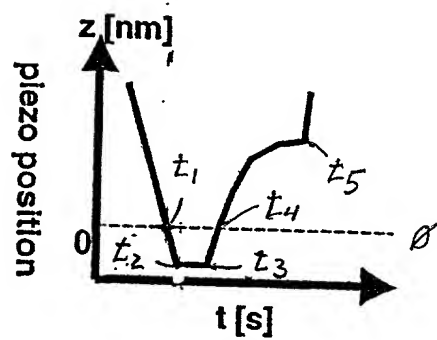


Fig. 15B.

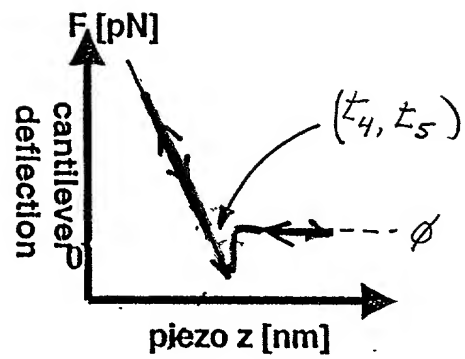


Fig. 15C

400

402

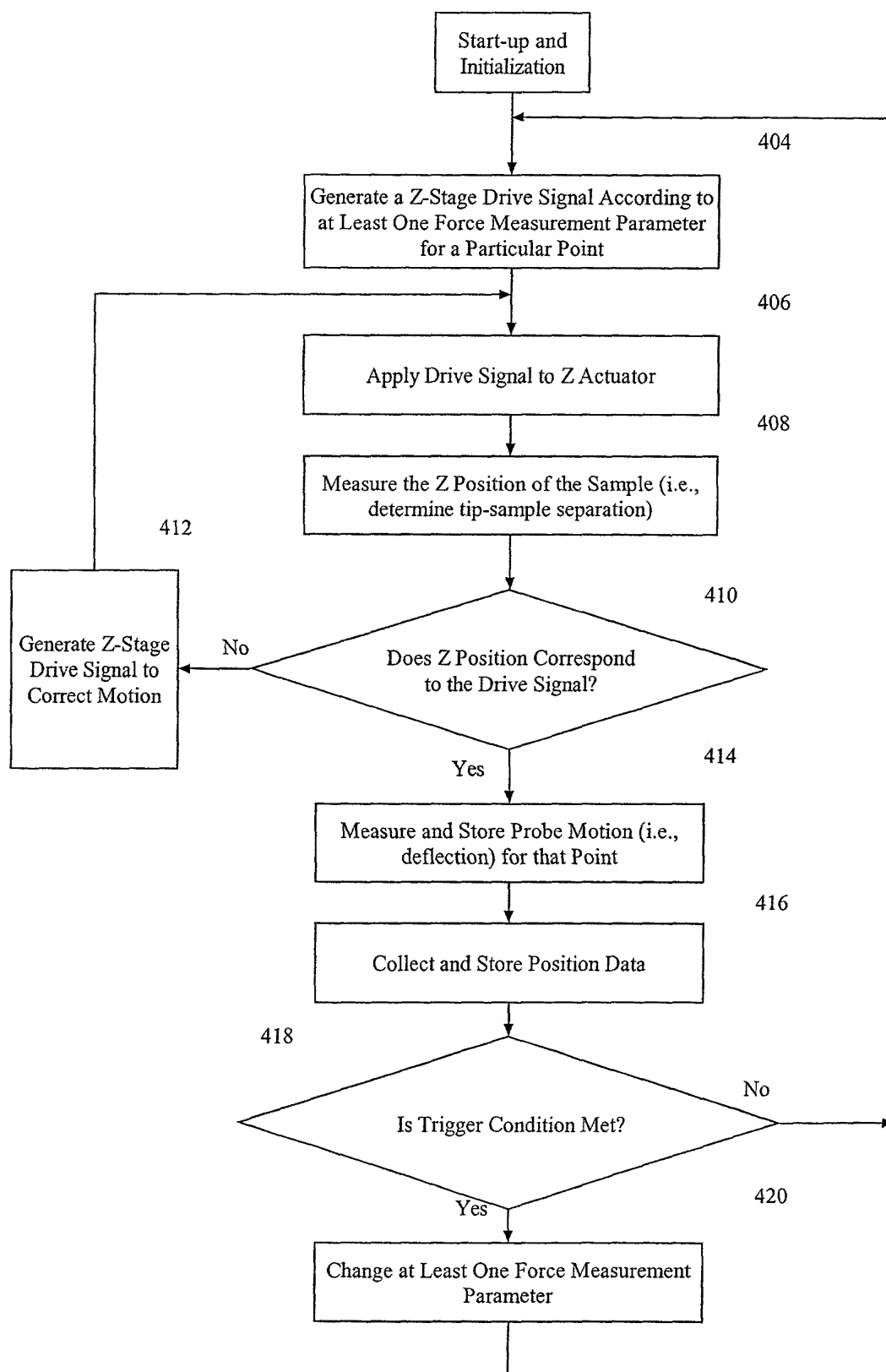


Fig. 16

TRIGGERS

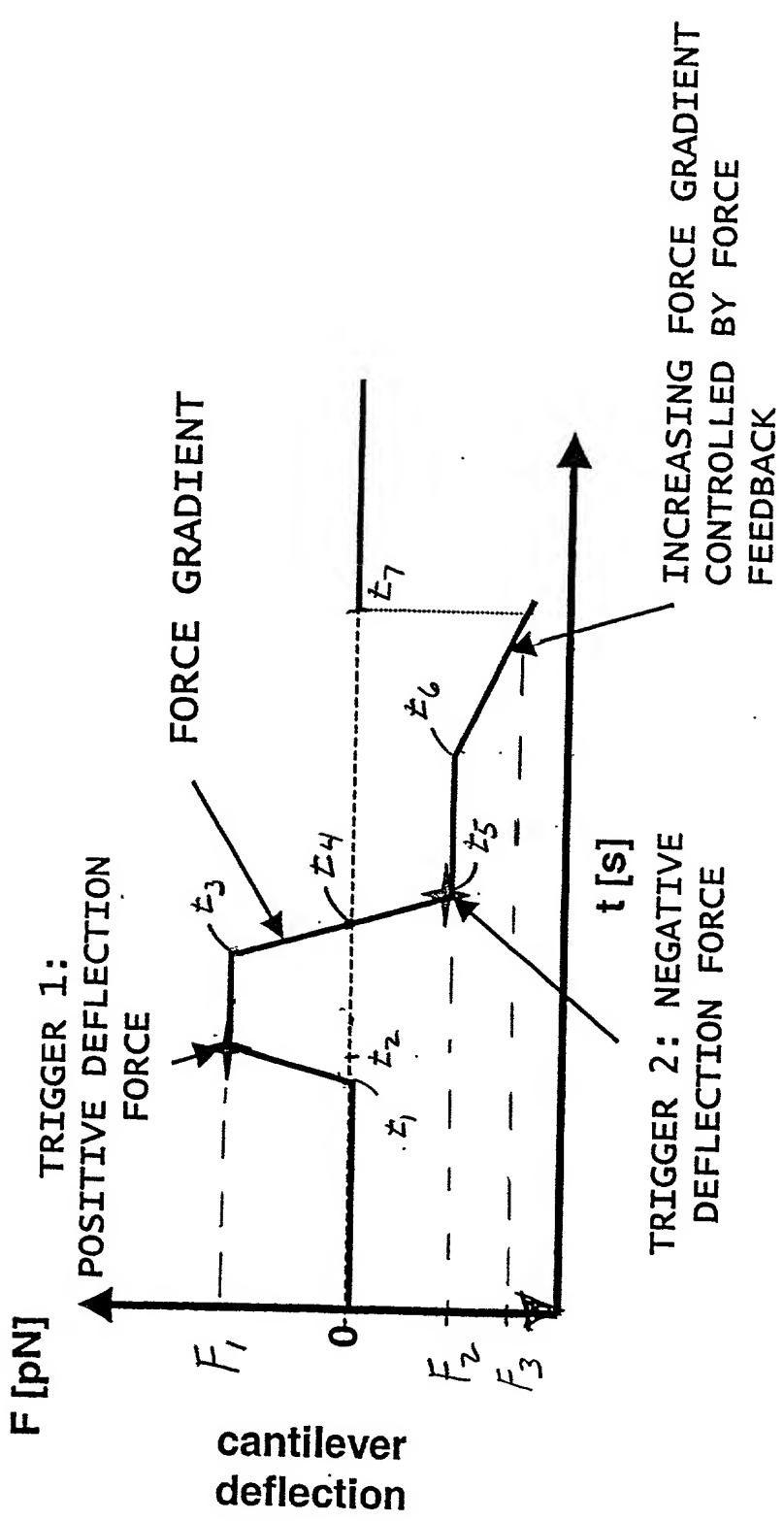


Fig. 17

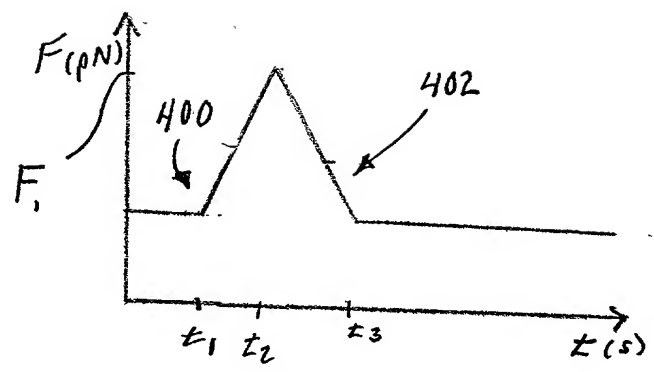


Fig. 18A

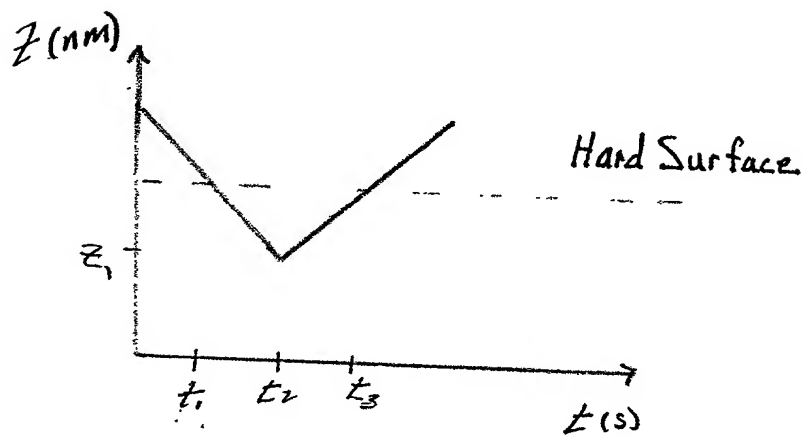


Fig. 18B

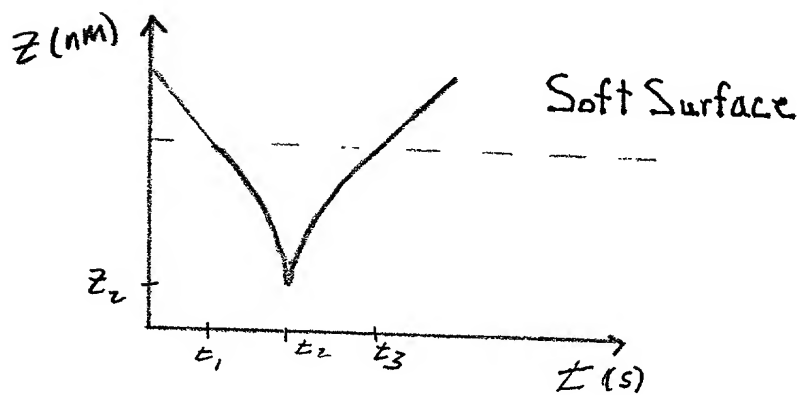


Fig. 18C

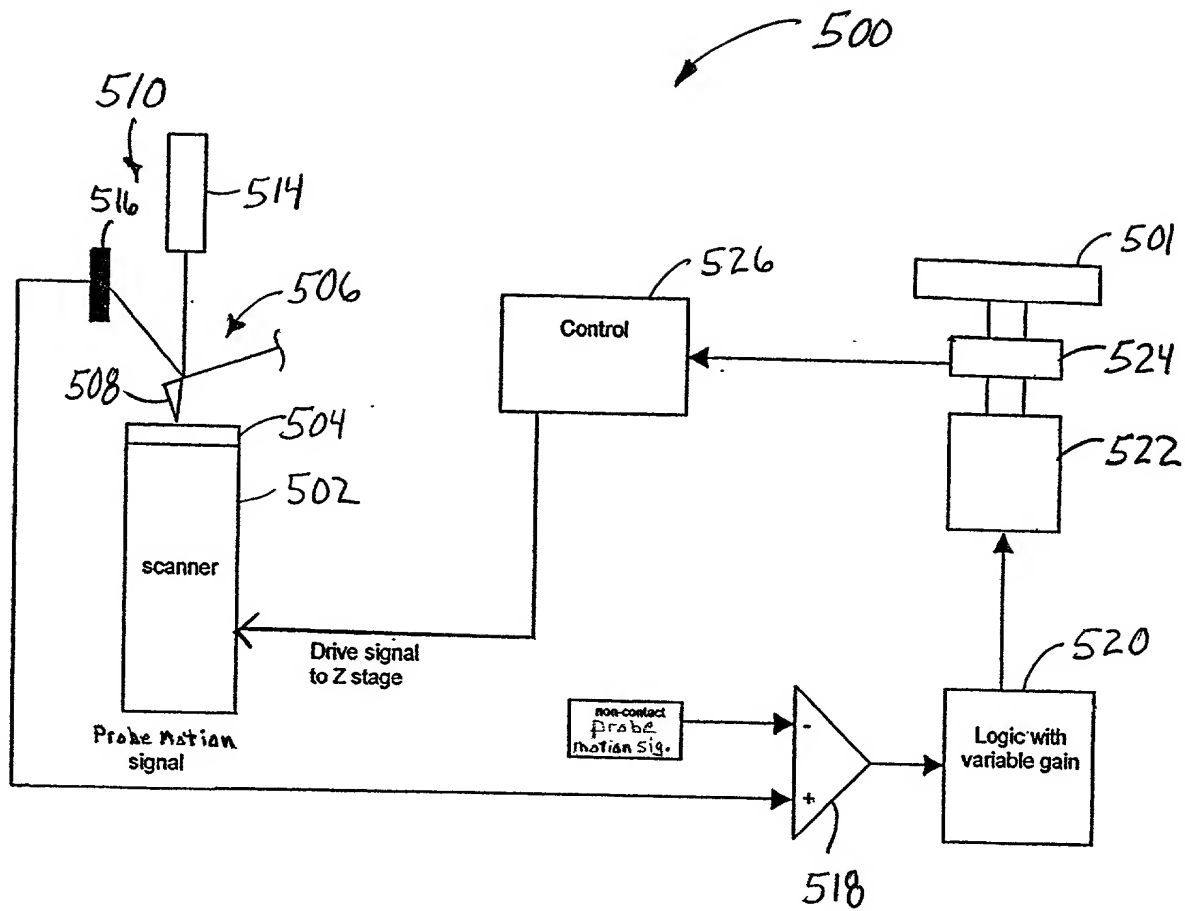


Fig. 19